

ویژگی‌های ژئوشیمی‌ای پازالت‌های پیرامون اردبیل

علی، درویشزاده^{۱*}، یوسف وثيق^۲

۱- استاد پترولیوژی، گروه مهندسی معدن، دانشگاه آزاد اسلامی واحد لاهیجان، لاهیجان، ایران

۲- استادیار پیتولوژی، دانشکده علوم، دانشگاه آزاد اسلامی واحد اردبیل، اردبیل، ایران

* عهده‌دار، مکاتبات: am_darvishzadeh@yahoo.com

د. یافت مقاله: ۹۱/۳/۲۷، بذیرش. مقاله: ۹۱/۸/۱۰

حکیمہ

در این مقاله روشیمی سه ناحیه از بازالت‌های اطراف اردبیل، شامل منطقه حیران، رضی و صائین بررسی شده است که دو منطقه اول از نوع زیردریایی با ساختار گدازهای بالشی به سن کرتاسه پسین-ترشیری پیشین و نمونه‌های منطقه صائین به سن کوتانری از نوع هوانی با ویزگی پلکانی از نوع تراپ (trap) هستند. بازالت‌های مناطق حیران و رضی از نوع اولیه و در محدوده گوشه سنگ کوه‌ای زیر قاره‌ای و منطقه صائین از نوع تحول یافته هستند و منشأ عمیق‌تری نسبت به دو نمونه قبلی دارند. نمونه‌ها از نظر نسبت‌های ایزوتوپی $^{87}\text{Sr}/^{86}\text{Sr}$ در قلمرو OIB و از نظر نسبت ایزوتوپی Nd-Sr در عین حال آغشته‌گی شدیدی با مواد پوسته‌ای دارند.

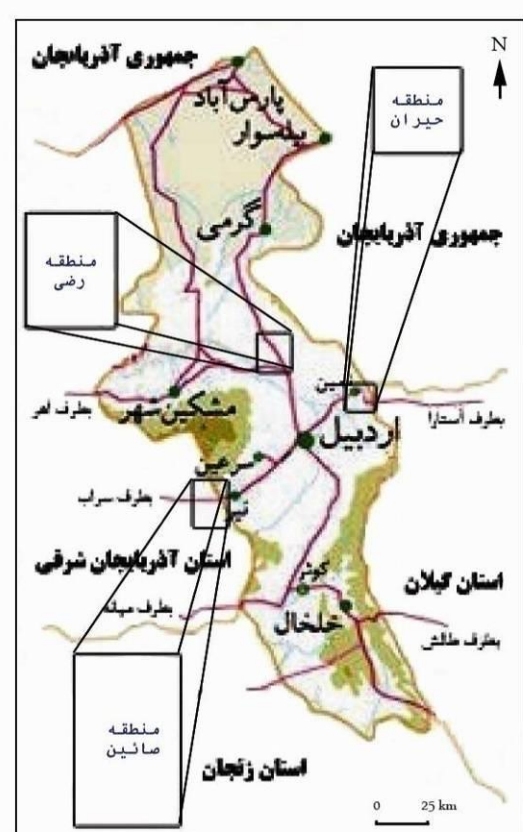
واژه‌های کلیدی: اردبیل، بازالت، گدازه بالشی، تراپ، گوشه سنگ کره‌ای، آغشتگی

مقدمه - ۱

سنگ‌های بازالتی سه منطقه از حوالی اردبیل شامل مناطق حیران، رضی و صائین با موقعیت جغرافیایی و سنگ‌شناسی متفاوت به شرح زیر مورد مطالعه قرار گرفت:

۱- منطقه حیران

این منطقه در ۳۰ کیلومتری شمال اردبیل و ۵۰ کیلومتری غرب آستارا (شکل ۱) بین طول جغرافیایی $۴۸^{\circ} ۲۶'$ تا $۴۸^{\circ} ۴۰'$ و عرض جغرافیایی $۳۱^{\circ} ۳۸'$ تا $۳۲^{\circ} ۳۸'$ شمالی قرار دارد. سنگ‌های بازالتی این ناحیه به سن کرتاسه پسین-ائوسن (ویق، ۱۳۸۸) با گسترش تقریبی ۲۰۰ کیلومتر مربع ارتفاعات حاشیه‌ای دریای خزر را تشکیل می‌دهد که بخشی از آن به گردنه حیران معروف است. سنگ‌های این ناحیه عمدها از نوع بازالت‌های زیردریایی با ساختار بالشی (شکل ۲ و ۳) و دایک‌های دیابازی است که در واقع بیانگر بخش بیرونی یک مجموعه افیولیتی است که در طول ارتفاعات حاشیه دریای خزر از چالوس (سازند چالوس؛ Cartier، ۱۹۷۱) تا املش-lahijan (صلواتی، ۱۳۸۷)، اسلام و گردنه حبان تا نم، (ویق، ۱۳۸۸) قرار دارد.



شکار - موقعیت حفاظ افیاء مناطق مهندس مطالعه.

و رحیم‌زاده، ۱۳۶۷) با گسترش تقریبی ۲۷۰ کیلومتر مربع، جزو انتهایی ترین بخش البرز غربی به شمار می‌آید. رضی بزرگ‌ترین آبادی این ناحیه است که در شمال منطقه مورد مطالعه قرار دارد. سنگ‌های این ناحیه عمدها از بازالت‌های زیردریایی با ساختار بالشی (شکل ۴) و به میزان محدود بازالت‌های قاره‌ای تشکیل شده‌اند. به‌نظر مرسد گدازه‌های زیردریایی این منطقه دنباله گدازه‌های منطقه حیران است که به سمت شمال غرب گسترش یافته است و می‌توان آنرا در ادامه مجموعه افیولیتی حاشیه جنوی دریای خزر در نظر گرفت (وثيق، ۱۳۹۱). سنگ‌های منطقه رضی از نظر ویژگی‌های سنگنگاری و ژئوشیمیایی شباهت زیادی به نمونه‌های منطقه حیران دارند. الگوی تغییرات عناصر کمیاب در سنگ‌های این دو منطقه نیز مشابه است و احتمال هم‌ماگما بودن آنها و دارا بودن منشأ مشابه را نشان می‌دهد. مشابهت سنی این سنگ‌ها نیز این احتمال را تقویت می‌کند. تفاوت سنگ‌های این دو منطقه را صرفاً می‌توان در فراوانی نسبی درشت بلورهای الیوین در سنگ‌های منطقه رضی نسبت به منطقه حیران و آغشته‌گی بیشتر گدازه‌های منطقه حیران با سنگ‌های پوسته نسبت به منطقه رضی عنوان کرد (وثيق، ۱۳۹۱).



شکل ۴- مقطع عرضی یک ساختار بالشی و شکستگی‌های انقباضی شعاعی شکل و هم‌مرکز در هسته آن در منطقه رضی.

۱-۳- منطقه صائین

این منطقه در ۴۵ کیلومتری جنوب غرب اردبیل و ۵۰ کیلومتری شرق سراب (شکل ۱) بین طول جغرافیایی ۴۹° تا ۴۷°، ۵۹° تا ۴۷°، ۳۷° تا ۳۸°، ۰۶° تا ۰۸° شمالی قرار دارد. سنگ‌های بازالتی این ناحیه به سن کواترنری (خداپنده و امینی فضل، ۱۳۷۶) با گسترش تقریبی ۳۲۰ کیلومتر مربع ارتفاعات جنوبی دامنه سبلان را تشکیل می‌دهد که بخشی از آن به نام گردنه صائین معروف است. سنگ‌های این ناحیه از نوع بازالت‌های قاره‌ای با گسترش پلکانی (تراپ) (شکل ۵) بوده و حفرات فراوان، شرایط فوران هوازی حاکم بر خروج آنها را نشان می‌دهد. این گدازه‌ها بر روی گدازه‌های سبلان قرار داشته و این موضوع سن کواترنری آنها

در زیر میکروسکوپ، بافت عمومی این سنگ‌ها بورفیری است. خمیره اغلب میکرولیتی بوده و گاه حاوی مقدار اندکی شیشه است. کلینوپیروکسن، درشت‌بلور اصلی این سنگ‌هاست و پلازیوکلاز و البوین از مقادیر کمتری برخوردار هستند. سنگ‌های منطقه حیران از نظر شیمیایی اغلب در محدوده بازالت‌ها قرار دارند و تمایل آشکاری به سمت بازالت‌های قلیایی در آن‌ها مشاهده می‌شود. این سنگ‌ها در نمودارهای مختلف ژئوشیمیایی به سری قلیایی وابسته بوده و پیاسیم بالایی دارند. مشخصات ژئوشیمیایی گدازه‌های بازالتی حیران نشان‌دهنده اختصاصات بازالت‌های پشت کمانی بوده و احتمالاً در یک پشت‌هه در حال گسترش در حوضه حاشیه‌ای و در بالای یک زون فرورانش به وجود آمده‌اند (وثيق، ۱۳۹۱).



شکل ۲- رخمنون قابل توجه گدازه‌های بالشی در منطقه حیران، ابعاد ساختارهای بالشی با شکل گوشه چپ عکس قابل مقایسه بوده و اندازه ساختارهای بالشی در افق‌های پایین درشت‌تر از بخش‌های بالا هستند (نگاه به سمت شمال شرق).



شکل ۳- یک ساختار بالشی لوله‌ای بزرگ به طول بیش از ۴ متر در منطقه حیران با سطح چین و شکن‌دار و شبکه‌دار، نشانه شبیب بستر دریا در زمان خروج گذازه.

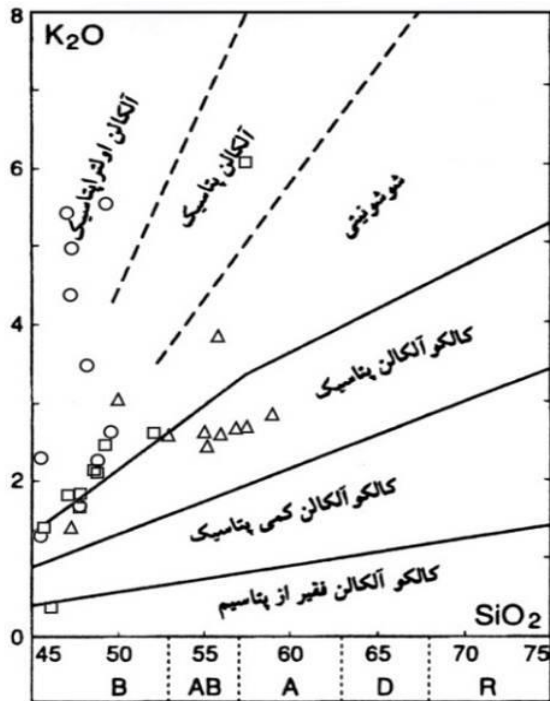
۱-۲- منطقه رضی

این منطقه در ۳۵ کیلومتری شمال اردبیل و ۶۰ کیلومتری جنوب گرمی (شکل ۱) و بین طول جغرافیایی ۴۸° تا ۴۸°، ۳۸° تا ۳۸° شمالی قرار دارد. سنگ‌های بازالتی این ناحیه به سن پالتوسن- اوسن (باباخانی

احتمالاً در حوضه‌های کششی محلی pull-apart و در نتیجه کشش متعاقب حرکات فشاری، در امتداد گسل‌های امتدادلغز به سطح زمین راه یافته است (وثيق، ۱۳۹۱).

۱-۴- ویژگی‌های ژئوشیمیایی بازالت‌های پیرامون اردبیل

- این ویژگی‌ها به اختصار عبارتند از:
- نمونه‌های مناطق سه‌گانه در قلمرو بازالت‌ها و آندزیت‌های بازالتی و جزء سری شوشوونیتی و کلسیمی-قلیایی پتانسیمی (قاره می‌گیرند (شکل ۷).



شکل ۷- موقعیت نمونه‌های مورد مطالعه در ردیف‌بندی ساده‌ای از سنگ‌های آتششانی کمانی (Maury, 1993) (B: بازالت، AB: آندزیت بازالتی، A: آندزیت، D: داسپیت، R: ریولیت (نمونه‌های منطقه حیران با علامت دایره، منطقه رضی با مریع و منطقه صائین با مثلث مشخص هستند).

- از نظر مقادیر سیلیس، نمونه‌های منطقه حیران و رضی از نوع فقیر از سیلیس (کمتر از ۵۳ درصد) اما نمونه‌های منطقه صائین از نوع سیلیس‌دار (حدود ۵۵ درصد) به شمار می‌آیند.
- از نظر مقدار MgO، نمونه‌های حیران و رضی از نوع بازالت‌های اولیه (حدود ۸ تا ۱۲ درصد MgO) در حالی که بازالت‌های منطقه صائین از نوع تحول یافته (بین ۵ تا ۸ درصد MgO) به شمار می‌آیند.

را تأیید می‌کند. درزیز میکروسکوپ بافت عمومی این سنگ‌ها پورفیری و متماطل به آفیریک است. خمیره اغلب آن‌ها میکرولیتی و شیشه‌ای است. بیشتر درشت‌بلورها در حد درشت‌بلورهای کوچک هستند. کلینوپیروکسن و پلازیوکلاز، درشت‌بلورهای اصلی این سنگ‌ها هستند و الیوین نیز به صورت معدود دیده می‌شود (شکل ۶).



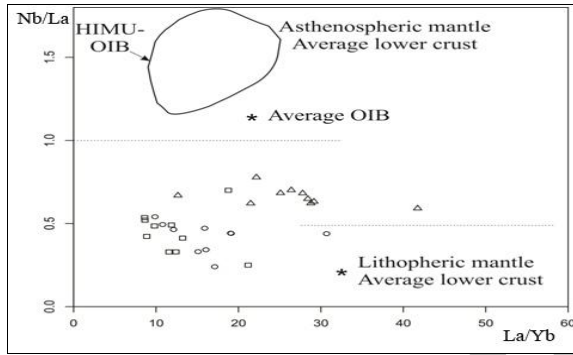
شکل ۵- منظره پلکانی از فوران هوایی گدازه‌های بازالتی کواترنری همراه با لایه‌های پالیوسیل در حد فاصل بین لایه‌ها در منطقه صائین (نگاه به سمت شمال غرب).



شکل ۶- الیوین‌های خودریخت و شش‌گوش تقریباً سالم در خمیره میکرولیتی (XPL).

سنگ‌های منطقه صائین از نظر ترکیب شیمیایی اغلب در محدوده بازالت و آندزیت بازالتی قرار داشته و تمایل آشکاری به سمت تراکی آندزیت‌ها دارند. این سنگ‌ها برخلاف ظاهر تیره‌ای که آن‌ها را جزو سنگ‌های بازی قرار می‌دهند، ترکیب حداکثر دارند. ماجمای سازنده سنگ‌های منطقه صائین به سری قلیایی وابسته بوده و روند تفریق و تبلور در آن‌ها با توجه به نمودارهای ژئوشیمیایی، حالت منظم و عادی دارد در حالی که در سنگ‌های مربوط به مناطق حیران و رضی، پراکندگی‌ها و بی‌نظمی‌های قابل توجهی مشاهده می‌شود. عدم آغشتنگی پوسته‌ای قبل توجه در گدازه‌های تشکیل‌دهنده سنگ‌های منطقه صائین، احتمالاً به دلیل صعود سریع ماجمای تشکیل‌دهنده آن‌ها از شکستگی‌های عمیق به سطح زمین است. اختصاصات ژئوشیمیایی گدازه‌های بازالتی صائین نشان‌دهنده اختصاصات ژئوشیمیایی بازالت‌های درون‌قاره‌ای بوده و

مناطق حیران و رضی $0/414$ است که نشان دهنده منشأ گوشته سنگ کره‌ای ماغمای سازنده این سنگ‌هاست.
از نظر منشأ، گدازه‌های منطقه صائین به گوشته سنگ کره‌ای وابسته بوده و این نسبت، حاکی از آن است که گدازه‌های این منطقه از عمق بیشتری نسبت به گدازه‌های دو منطقه حیران و رضی ناشی شده‌اند. نسبت Nb/La در گدازه‌های این منطقه به طور میانگین $0/682$ است که اندکی بیش از مقادیر گدازه‌های حاصل از منبع گوشته سنگ کره‌ای ($0/5$) است. این موضوع نشانه عمق قابل توجه شکستگی‌های تشکیل یافته در منطقه است. ایجاد شکستگی‌های عمیق در صعود سریع گدازه و عدم آغشتگی قابل توجه آن با سنگ‌های پوسته مرتبط بوده و مقادیر اندک درشت‌بلور و فراوانی ریزبلور و شیشه در خمیره سنگ، مبنی این ادعاست. ضمن این که صعود سریع ماغما و کاهش فشار در شرایط آدیاباتیک سبب خوردگی گوشه‌ها و حاشیه درشت‌بلورها نیز شده است.

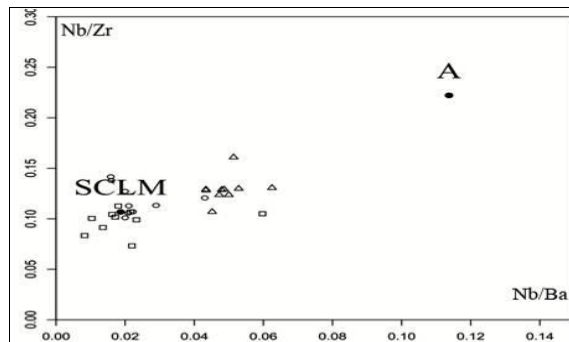


شکل ۹- نمودار تفکیک منشأ ماغمها (Chen & Arculus, 1995) و fitton et al, 1991 نمونه‌های مناطق حیران و رضی در محدوده گوشته سنگ کره‌ای واقع شده‌اند، اما نمونه‌های منطقه صائین منشأ عمیق‌تری دارند (علائم مطابق شکل ۷ است).

۲- ژئوشیمی ایزوتوپی

اصولاً ترکیب ایزوتوپی هر بازالت نشان دهنده منبع گوشته‌ای است که از آن مشتق شده باشد به شرط آن که مذاب مورد نظر تحت تأثیر درگرسانی سطحی یا هیدرولرمال قرار نگرفته و همچنین ماغمای مربوطه در هنگام بالا آمدن با توقف در اتاق‌های ماغمایی با سنگ‌های مجاور وارد واکنش نشده و تغییرات ژئوشیمیایی (آغشتگی) تحمل نکرده باشد (Jutean&Maury, 1997؛ درویشزاده، ۱۳۸۱). براین اساس شش نمونه از سنگ‌های منطقه مورد مطالعه (از هر منطقه دو نمونه) در آزمایشگاه دانشگاه کارلتون در کانادا به روش $Sm-Nd$ و $Rb-Sr$ (Sr-Nd) تجزیه شدند. خلاصه نتایج این تجزیه در جدول ۱ و ۲ و به صورت کامل در پایان مقاله آمده است.

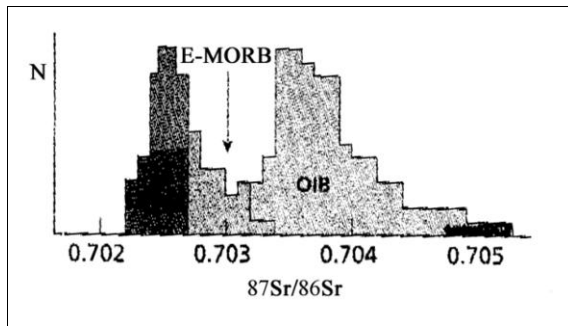
- در نمودار Hooper et al (1993) که بر مبنای نسبت Nb/Ba در برابر Nb/Zr به منظور تفکیک منشأ سستکره‌ای (A) و گوشته سنگ کره‌ای (SCLM) (رسم شده است بیشتر سنگ‌های مناطق حیران و رضی در محدوده گوشته سنگ کره‌ای زیر قاره (SCLM) گرفته‌اند. نمونه‌های منطقه صائین به صورت مشخصی از نمونه‌های دو منطقه دیگر جدا افتاده‌اند و نسبت به آن‌ها منشأ عمیق‌تری را نشان می‌دهند (شکل ۸).



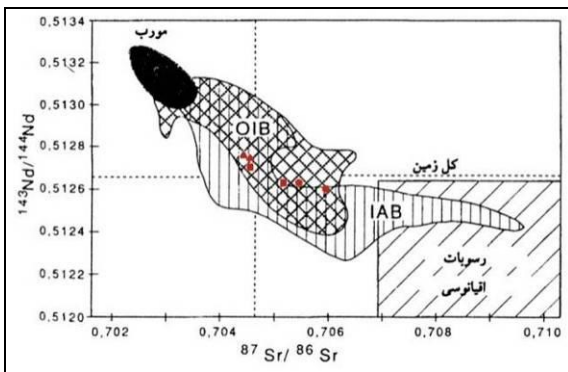
شکل ۸- نمودار تفکیک منشأ سستکره‌ای (A) و گوشته سنگ کره‌ای (SCLM) (ماگمها (Hooper et al, 1993)، منشأ ماغمای سازنده سنگ‌های مناطق حیران و رضی در محدوده گوشته سنگ کره‌ای زیر قاره (SCLM) نمونه‌های منطقه صائین نسبت به آن‌ها منشأ عمیق‌تری را نشان می‌دهند (علائم مطابق شکل ۷ است).

- همان‌گونه که در نمودار مشترک (Fitton et al, 1991) و Chen & Arculus (1995) مشاهده می‌شود، نسبت Nb/La برای گوشته سستکره‌ای بزرگ‌تر از $0/5$ است. منشأ ماغمای سنتگ‌های مناطق حیران و رضی در محدوده گوشته سنگ کره‌ای واقع شده‌اند. اما برای نمونه‌های منطقه صائین، این نسبت بین $0/5$ و 1 است که منشأ عمیق‌تر ماغمای این نمونه‌ها را نسبت به سنگ‌های دو منطقه دیگر نشان می‌دهد (شکل ۹).

- نمونه‌های حیران و رضی از عنصر LIL غنی هستند. این موضوع را می‌توان به انتقال سیالات غنی از LILE از صفحه فرورانش به سنگ کره قاره‌ای (گوشته و پوسته) که فرایندی برگشت‌ناپذیر است (Fitton, 1995). مریبوط HFS مانند Nb در مذاب‌های سنگ کره‌ای مقداری بسیار متغروتی دارند. بنابراین، به عقیده بعضی از محققان (از جمله Abdel-Fattah et al, 2004) نسبت La/Nb می‌تواند متأثر از نحوه غنی‌شدنگی متاسوماتیک باشد. Smith et al (1999) و Bradshaw & Smith (1994) نشان داده‌اند که عنصر Nb نسبت به عنصر RE HFS مانند La در گوشته سنگ کره‌ای تهی شده هستند. بنابراین مقداری بالای نسبت Nb/La (بزرگ‌تر از یک) نشانگر منبع گوشته سستکره‌ای و مقادیر پایین این نسبت (کمتر از $0/5$) نشان دهنده منبع گوشته سنگ کره‌ای است. میانگین این نسبت در سنگ‌های



شکل ۱۰- هیستوگرام فراوانی ترکیب ایزوتوپی استرانسیم بازالت‌های اقیانوسی (Allegre, 2008)، نمونه‌های منطقه در قلمرو OIB قرار می‌گیرند.



شکل ۱۱- ترکیب ایزوتوپی Nd-Sr مگماهای اقیانوسی و موقعیت نمونه‌های مورد مطالعه در آن (Hawkesworth, 1994) (سیاه: قلمرو مورب، شطرنجی: قلمرو OIB، هاشور قائم: قلمرو IAB، هاشور مورب: قلمرو رسوبات اقیانوسی (علام مطابق شکل ۷ است).

۲-۱- براساس نمودار همبستگی ایزوتوپی $^{87}\text{Sr}/^{86}\text{Sr}$ در برابر $^{144}\text{Nd}/^{143}\text{Nd}$ (Zindler & Hart, 1986) (نمونه‌های منطقه در قلمرو ترکیب گوشه‌ای قرار داشته و متمایل به ترکیب کل زمین (BSE) (هستند (شکل ۱۲). مقادیر نسبت ایزوتوپی $^{87}\text{Sr}/^{86}\text{Sr}$ در نمونه‌های منطقه حیران بیش از دو منطقه دیگر است که آن‌ها را موازی با محور افقی نمودار به خارج از محدوده گوشه‌های رانده است. به طور کلی نسبت‌های پایین ایزوتوپی $^{87}\text{Sr}/^{86}\text{Sr}$ نشان‌دهنده منشاء گوشه‌ای و نسبت‌های بالا بیانگر تاثیر آغشته‌گاهی پوسته‌ای است. بنابراین تهی شدگی از مقادیر ایزوتوپی $^{144}\text{Nd}/^{143}\text{Nd}$ و غنی-

جدول ۱- نتایج تجزیه ایزوتوپی استرانسیم و رویدیدم سنگ‌های مناطق

مورد مطالعه

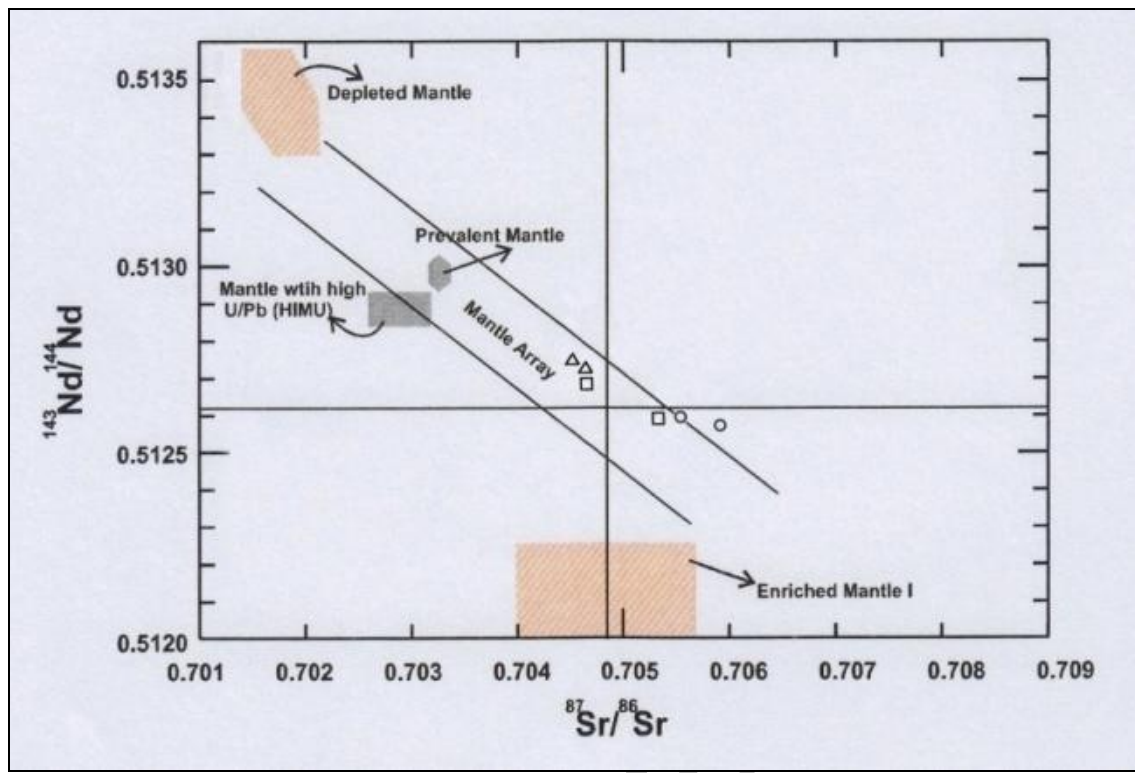
$^{87}\text{Rb}/^{86}\text{Sr}$	$^{87}\text{Sr}/^{86}\text{Sr}$	شماره نمونه	منطقه
۰/۶۷۷۷۶۰	۰/۷۰۵۹۸۴	H21	حیران
۰/۴۷۲۲۸۴	۰/۷۰۵۵۶۹	H27	
۰/۳۷۴۴۳۸	۰/۷۰۵۳۳۱	R27	رضی
۰/۲۱۷۰۹۵	۰/۷۰۴۶۲۸	R45	
۰/۲۲۸۱۶۳	۰/۷۰۴۶۲۸	S47	صائین
۰/۲۱۴۰۵۷	۰/۷۰۴۵۸۲	S48	

جدول ۲- نتایج تجزیه ایزوتوپی نمودیمیم و ساماریم سنگ‌های مناطق مورد مطالعه

ϵNd	$^{147}\text{Sm}/^{144}\text{Nd}$	$^{143}\text{Nd}/^{144}\text{Nd}$	شماره نمونه	منطقه
-۱/۰۳	۰/۱۳۷۸۵	۰/۵۱۲۵۸۵	H21	حیران
-۰/۴۵	۰/۱۳۳۸۲	۰/۵۱۲۶۱۵		
-۰/۸۶	۰/۱۳۳۸۳	۰/۵۱۲۵۹۴	R27	رضی
۰/۹۴	۰/۱۳۵۴۰	۰/۵۱۲۶۸۴		
۱/۶۸	۰/۱۰۱۲۲	۰/۵۱۲۷۲۴	S47	صائین
۱/۹۱	۰/۱۰۱۲۴	۰/۵۱۲۷۳۶		

۱-۲- مقایسه ترکیب ایزوتوپی استرانسیم بازالت‌های مناطق سه‌گانه (جدول ۱) با بازالت‌های اقیانوسی زمین (Allegre, 2008) نشان می‌دهد که نمونه‌های مورد مطالعه با نسبت ایزوتوپی بیش از ۰/۷۰۴۵ از ترکیب ایزوتوپی مورب نرمال (N-MORB) غنی‌شده (E-MORB) دور بوده و در قلمرو بازالت‌های (بازالت‌های جزایر اقیانوسی) قرار می‌گیرد (شکل ۱۰). این موقعیت در نمودار (Hawkesworth, 1994) نیز مورد تأیید است (شکل ۱۱).

نسبت ایزوتوپی Nd در بازالت‌های مورب حدود ۰/۵۱۳۲ و در بازالت‌های OIB حدود ۰/۵۱۲۸ است (Allegre, 2008) که اگر با بازالت‌های منطقه مورد مقایسه قرار گیرد، شباهت آن‌ها با بازالت‌های OIB نمایان می‌شود، اما با توجه به این که در گرانیت‌ها مقدار آن از ۰/۵۰۸ تا ۰/۵۱۱ (بر حسب سن گرانیت) متغیر است، بنابراین آلایش پوسته‌ای می‌تواند در کاهش این نسبت دخالت داشته باشد. در واقع بازالت‌های OIB از ذوب گوشه‌های عمیق تری در مقایسه با مورب‌ها به وجود می‌آیند، اما با توجه به این که نمونه‌های منطقه حیران و رضی دارای ساختار بالشی، دایک‌های دیابازی و گدازه‌های حیران (وثيق، ۱۳۸۸) یعنی از نوع پوسته اقیانوسی هستند، بنابراین از نوع OIB به شمار نمی‌آید. این ناهماهنگی در ترکیب ایزوتوپی، بیانگر آلایش آن‌ها با سنگ‌های پوسته‌ای و یا مربوط به ورود و گردش آب دریا به داخل بازالت‌ها و دگرسانی شدید این سنگ‌هاست.



شکل ۱۲- قاراگیری نمونه‌های مناطق مورد مطالعه در قلمرو ترکیب گوشته‌ای و متمایل به ترکیب کل زمین (Zindler & Hart, 1986) (علام مطابق شکل ۷ است).

موردن اشاره، نشانه آغشته‌گی مagma با مواد پوسته‌ای است. در سنگ‌های بازالتی که تحت تأثیر آلودگی پوسته‌ای قرار گرفته باشند نسبت‌های La/Nb و La/Ta, K/P (Abdel-Hart et al, 1989) و Brzگتر از ۰.۷۰۲، ۰.۷۰۳ و ۰.۷۰۴ هستند (Fattah et al, 2004). میانگین این نسبت‌ها در سنگ‌های بازالتی منطقه حیران به ترتیب ۰.۷۰۳/۰.۷۰۴، ۰.۷۰۴/۰.۷۰۵ و ۰.۷۰۵/۰.۷۰۶، منطقه رضی به ترتیب ۰.۷۰۲/۰.۷۰۳، ۰.۷۰۳/۰.۷۰۴ و ۰.۷۰۴/۰.۷۰۵ و در منطقه صائین به ترتیب ۰.۷۰۱/۰.۷۰۲، ۰.۷۰۲/۰.۷۰۳ و ۰.۷۰۳/۰.۷۰۴ است که نشان دهنده تأثیر قابل توجه آلودگی پوسته‌ای در این سنگ‌ها، به ویژه در مناطق حیران و رضی است. به عقیده (Fan et al, 2003) دامنه تغییرات نسبت‌های K₂O/P₂O₅ و K₂O/TiO₂ با مقدار آلودگی پوسته‌ای متناسب است. دامنه تغییرات نسبت‌های یادشده در گذازه‌های منطقه حیران به ترتیب ۰.۷۰۱/۰.۷۰۲، ۰.۷۰۲/۰.۷۰۳ و ۰.۷۰۳/۰.۷۰۴، منطقه رضی به ترتیب ۰.۷۰۲/۰.۷۰۳، ۰.۷۰۳/۰.۷۰۴ و ۰.۷۰۴/۰.۷۰۵ و در منطقه صائین به ترتیب ۰.۷۰۱/۰.۷۰۲، ۰.۷۰۲/۰.۷۰۳ و ۰.۷۰۳/۰.۷۰۴ است. تغییرات گسترده در دامنه این نسبت‌ها میان نقش مهم آغشته‌گی پوسته‌ای در سنگ‌های بازالتی این مناطق به ویژه حیران و رضی است. تشابه ژئوشیمیایی و سنی سنگ‌های مناطق حیران (کرتاسه بالای-اوسن) و رضی (اوسن) احتمال هم منشأ بودن و وابستگی آن‌ها به رخدادی مشابه را تقویت می‌کند. در این مورد مشخصات ژئوشیمیایی این مناطق، وابستگی آن‌ها به محیط‌های کمائلی و به ویژه حوضه پشت‌کمانی مرتبط با پدیده فروزانش را نشان

۳- بحث و نتیجه‌گیری

سنگ‌های بازالتی مناطق مورد مطالعه نشانه‌های آلایش با پوسته را دارند، با این تفاوت که این آلودگی در مورد سنگ‌های منطقه حیران و رضی کاملاً مشهود بوده، اما در مورد سنگ‌های منطقه صائین چندان محسوس به نظر نمی‌رسد. صعود سریع گدازه به سطح زمین می‌تواند در کاهش آغشته‌گی موثر باشد. مقدار کمتر درشت‌بلور در سنگ‌های منطقه صائین در مقایسه با دو منطقه دیگر که می‌تواند نشانه سرعت صعود بیشتر magma یا توقف کمتر آن در درون زمین باشد، این موضوع را تأیید می‌کند. آلودگی با پوسته که در زمان صعود گدازه به سمت سطح زمین رخ می‌دهد، تغییراتی در شیمی سنگ به وجود می‌آورد. آغشته‌گی تنها ۲ درصد مواد پوسته با ماقمای حاصل از گوشته می‌تواند به بی‌هنجاری منفی Ta و Nb متعقند که منجر شود (Fan et al, 2003). Winter, 2001 (Winter, 2001) این نتیجه را تأیید کرد. غنی‌شدنی شدید از Th و U در نمودارهای عنکبوتی، بیانگر اضافه شدن رسوبات پلازیک یا اضافه شدن پوسته اقیانوسی دگرسان شده در منبع ذوب شدگی است. همچنین اگر مقدار نسبت Nb/U کمتر از ۰.۴۷ باشد، مشارکت مواد پوسته‌ای را در منشأ گدازه نشان می‌دهد (Hofmann et al, 1986). میانگین این نسبت در سنگ‌های منطقه حیران ۰.۴۴ و در منطقه صائین ۰.۷۹ است که با توجه به تفاوت چشمگیر با حد نصاب

نتایج تجزیه عنصر کمیاب

S48	S47	R45	R27	H27	H21	نمونه
۷۲۰	۷۰۰	۵۰۰	۴۳۰	۳۶۰	۴۳۰	Ba
۹۱	۹۲/۲	۳۲/۶	۳۷/۶	۲۷/۳	۳۱/۹	Ce
۱۹/۶	۲۰/۴	۲۱	۳۷/۴	۵۰/۲	۴۶/۱	Co
۶۸	۱۳۷	۶۸	۲۰۵	۸۲۱	۸۲۱	Cr
۱/۴	۱/۶	۲/۷	۱/۱	۱/۶	۳/۹	Cs
۳/۸۲	۳/۹۱	۳/۸۵	۴/۰۷	۲/۹۸	۳/۲۱	Dy
۱/۵۷	۱/۵۸	۱/۲۸	۱/۲۷	۰/۹۹	۱/۰۹	Eu
۴/۵۸	۴/۵۴	۳/۸۶	۴/۳۵	۳/۲۸	۳/۵	Gd
۶	۶	۲	۳	۲	۲	Hf
۵۴	۵۲/۸	۱۷/۳	۲۰/۶	۱۴/۸	۱۹/۴	La
۰/۲۹	۰/۲۹	۰/۲۷	۰/۲۹	۰/۱۹	۰/۲۵	Lu
۳۵	۳۷	۹	۱۰	۸	۹	Nb
۳۴/۵	۳۵/۱	۱۶/۹	۱۹/۸	۱۴/۴	۱۶/۶	Nd
۵۴	۵۲	۴۳	۶۳	۴۸۷	۴۰۱	Ni
۹/۶۱	۱۰	۴/۰۹	۴/۷۵	۳/۵۱	۳/۹۹	Pr
۵۹/۹	۶۷	۵۱	۵۸/۲	۶۳/۷	۹۶	Rb
۵/۸	۵/۹	۳/۸	۴/۴	۳/۲	۳/۸	Sm
۸۱۰	۸۵۰	۶۸۰	۴۵۰	۳۹۰	۴۱۰	Sr
۲/۱	۲/۲	۰/۵	۰/۵	۰/۵	۰/۵	Ta
۹/۱	۹/۱	۳/۳	۳/۸	۳/۳	۴	Th
۲/۶۲	۲/۷۷	۰/۹۱	۰/۸۷	۰/۹۵	۱/۰۵	U
۱۹/۷	۲۰	۱۸/۴	۲۰/۵	۱۴/۸	۱۶/۶	Y
۱/۹	۲	۲	۲/۱	۱/۵	۱/۶	Yb
۲۷۱	۲۸۵	۷۹/۹	۱۰۱	۷۴/۸	۸۵/۲	Zr

مراجع

- باباخانی، ع. ر. و رحیمزاده، ف.، "شرح نقشه زمین‌شناسی چهارگوش اردبیل (مقیاس ۱:۲۵۰۰۰۰)" سازمان زمین‌شناسی و اکتشافات معدنی کشور.
- خدابنده، ع. الف. و امینی فضل، ع.، "شرح نقشه زمین‌شناسی چهارگوش اردبیل (مقیاس ۱:۱۰۰۰۰۰)" سازمان زمین‌شناسی و اکتشافات معدنی کشور.
- درویش‌زاده، ع.، "زمین‌شناسی پوسته اقیانوسی (ترجمه)" انتشارات دانشگاه تهران، ۱۳۸۱، ۵۶۹ صفحه.
- صلوتی، م.، "پترولوری و ژئوشیمی کمپلکس افیولیتی شرق گیلان" رساله دکترا، دانشکده علوم، دانشگاه اصفهان، ۲۴۱ صفحه.
- وثيق، ي.، "مطالعه سنگ‌های آتشفسناتی زبردیابی منطقه حیران (شمال شرق اردبیل)" مجله زمین و منابع، سال دوم، شماره ۱: صفحه ۷۵-۸۳

می‌دهد که به واسطه نسبت‌های بالای LILE/HFSE و P/Ta/Zr/Nb و تهی‌شدگی از عناصر Ti، Ce و بیشتری محیط‌های بالای فورانش را دارند. در حالی که سنگ‌های منطقه صائین (کواترنری) دارای ویژگی‌های بازالت‌های درون صفحه قاره‌ای هستند. منشأ ماغمای سازنده این سنگ‌ها با اختلاف عمق به گوشته سنگ‌کوه‌ای مربوط است. ضمن این که نمودار همبستگی ایزوتوپی $^{87}\text{Sr}/^{86}\text{Sr}$ در برابر $^{144}\text{Nd}/^{143}\text{Nd}$ نیز ترکیب گوشته‌ای و متمایل به ترکیب کل زمین (BSE) (را آشکار می‌سازد. نتایج مطالعات ایزوتوپی با وجود نسبت‌های پایین ایزوتوپی $^{87}\text{Sr}/^{86}\text{Sr}$ و $^{144}\text{Nd}/^{143}\text{Nd}$ بیانگر بیشترین آغشتگی پوسته‌ای برای سنگ‌های منطقه حیران است. این شرایط برای نمونه‌های منطقه صائین نشانده‌هندگی کمترین آلودگی پوسته‌ای است که می‌تواند با صعود سریع گدازه به سطح زمین توجیه شود. همچنین مطالعات عناصر کمیاب، پدیده تفرق را برای منطقه صائین و آلاش و اختلاط را برای مناطق حیران و رضی به عنوان مهم‌ترین عامل در تغییر ترکیب شیمیایی سنگ‌ها مطرح می‌سازد.

نتایج تجزیه اکسیدهای اصلی

S48	S47	R45	R27	H27	H21	اکسید
۵۵/۲	۵۵/۱	۴۷/۸	۴۸/۵	۴۸/۵	۴۹/۲	SiO ₂
۱/۰۱	۱/۰۳	۱/۰۸	۱/۰۴	۰/۸۷	۰/۸۸	TiO ₂
۱۷/۱	۱۷/۱	۱۸/۳	۱۵/۲	۱۲/۸	۱۳/۳	Al ₂ O ₃
۶/۵۳	۶/۴۷	۹/۸۸	۱۰/۳	۸/۹۶	۸/۷۴	Fe ₂ O ₃
۰/۱۱	۰/۱۱	۰/۱۶	۰/۱۷	۰/۱۴	۰/۱۵	MnO
۶/۳۳	۶/۰۷	۹/۳۱	۹/۵۲	۷/۵۳	۷/۸۸	CaO
۳/۱۴	۳/۰۵	۴/۹۲	۷/۰۸	۱۴/۷	۱۲/۷	MgO
۴/۴	۴/۳	۳	۲۲	۱/۹	۲/۲	Na ₂ O
۲/۴	۲/۶۵	۲/۲	۲/۱۶	۲/۲۵	۲/۶۴	K ₂ O
۰/۵۱	۰/۵۱	۰/۳	۰/۲۸	۰/۲۵	۰/۳	P ₂ O ₅

نتایج تجزیه ایزوتوپی ارسالی از آزمایشگاه دانشگاه کارلتون

نمونه	$^{147}\text{Sm}/^{144}\text{Nd}$	$^{143}\text{Nd}/^{144}\text{Nd}$	$^{87}\text{Rb}/^{86}\text{Sr}$	$^{87}\text{Sr}/^{86}\text{Sr}$	نمونه
H21	-۱/۰۳	۰/۱۳۷۸۵	۰/۵۱۲۵۸۵	۰/۶۷۷۷۶۰	۰/۷۰۵۹۸۴
H27	-۰/۴۵	۰/۱۳۳۸۲	۰/۵۱۲۶۱۵	۰/۴۷۲۷۸۴	۰/۷۰۵۵۶۹
R27	-۰/۸۶	۰/۱۳۳۸۲	۰/۵۱۲۵۹۴	۰/۳۷۴۴۶۸	۰/۷۰۵۳۲۱
R45	۰/۹۴	۰/۱۳۵۴۰	۰/۵۱۲۶۸۶	۰/۲۱۷۰۹۵	۰/۷۰۴۶۲۸
S47	۱/۶۸	۰/۱۰۱۲۲	۰/۵۱۲۷۲۴	۰/۲۲۸۱۶۳	۰/۷۰۴۶۲۸
S48	۱/۹۱	۰/۱۰۱۲۴	۰/۵۱۲۷۳۶	۰/۲۱۴۰۵۷	۰/۷۰۴۵۸۲

- Hart, W. K., WoldeGabrie, G., Walter, R. C. and Mertzman, S. A., 1989, "Basaltic volcanism in Ethiopia: constraints on continental rifting and mantle interactions", *Journal of Geophysical Research*, 94: P.7731-7748.
- Hawkesworth, C.J., Gallagher, K., Hergt, J.M. and McDermott, F., 1994, "Destructive plate margin magmatism, geochemistry and melt generation", *Lithos*, 33: P.169-188.
- Hofmann, A. W., Jochum, K. P., Seufert, M. and White, W. M., 1986, "Nb and Pb in ocean basalts: new constraints on mantle evolution", *Earth and Planetary Science Letters*, 79: P.33- 45.
- Hooper, P. R. and Hawkesworth, C. J., 1993, "Isotopic and geochemical constraints on the origin and evolution of the Colombia River Basalts", *Journal of Petrology*, 34: P.1203-1264.
- Jutean, T. and Maury, R., 1997, "Geologie de la croute oceânique petrologie et dynamique endogène", *Masson*, P.569.
- Maury, R.C., 1993, "Les séries volcaniques", *Mem. Soc. Geol. France, Pleins feux sur les volcans*, 163 :P.39 -55.
- Smith, E. I., Sanchez, A., Walker, J. D. and Wang, K., 1999, "Geochemistry of mafic magmas in the Hurricane Volcanic Field", *Utah: implications for small and large scale chemical variability of the lithospheric mantle*. *Journal of Geology*, 107: P.433-448.
- Winter, J. D., 2001, "An introduction to Igneous and Metamorphic petrology", *Prentice Hall*, P.697.
- Zindler, A. and Hart, S. R., 1986, "Chemical geodynamics", *Annual Review of Earth and Planetary Science*, 14: P.493-571.
- وثیق، ی.، ۱۳۹۱، "پترولوجی بازالت‌های منطقه اردبیل" رساله دکترا، دانشکده علوم پایه، دانشگاه آزاد اسلامی واحد علوم و تحقیقات، صفحه ۲۳۴.
- Abdel-Fattah, M., Abdel-Rahman, A. M. and Nasar, P. E., 2004, "Cenozoic Volcanism in the Middle East: Petrogenesis of alkali basalts from northern Lebanon", *Geol. Mag.*, 141(5): P.545-563.
- Allegre, C.J., 2008, "Isotope Geology", *Cambridge Univ. Press*, P.476.
- Bradshaw, T. K. and Smith, E. I., 1994, "Polygenetic Quaternary volcanism at Crater Flat", *Nevada. Journal of Volcanology and Geothermal Research*, 63: P.165-182.
- Cartier, E., 1971, "Die Geologie des Unteren Chalus Tals Zentral Alburz (Iran)", *Mitt. Geol. Inst. E.T.U.H.*, Zurich, N.S., N. P.164, 134.
- Chen, W. and Arculus, R. J., 1995, "Geochemical and isotopic characteristics of lower crustal xenoliths", *San Francisco Volcanic Field, Arizona, U.S.A. Lithos*, 36: P.203-205.
- Fan, W. M., Gue, F. Wang, Y. G. and Lin, G., 2003, "Late Mesozoic calc-alkaline volcanism of postorogenic extension in the Northern Da Hinggan Mountains, Northeastern China", *Journal of Volcanology and Geothermal Research*, 121:P.115-135.
- Fitton, J. G., 1995, "Coupled molybdenum and niobium depletion in continental basalts. Earth Science", 136: P.715-721.
- Fitton, J. G., James, D. and Leeman, W. P., 1991, "Basic magmatism associated with Late Cenozoic extension in the western United States": *compositional variations in space and time. Journal of Geophysical Research*, 96:P.13693-13712.